

ISSN 0021-3470

208
9

ИЗВЕСТИЯ
ВЫСШИХ УЧЕБНЫХ
ЗАВЕДЕНИЙ



РАДИОЭЛЕКТРОНИКА

том 44

11-12
ноябрь-декабрь

ИЗДАНИЕ
НАЦИОНАЛЬНОГО
ТЕХНИЧЕСКОГО
УНИВЕРСИТЕТА
УКРАИНЫ
«КИЕВСКИЙ
ПОЛИТЕХНИЧЕСКИЙ
ИНСТИТУТ»

2001

415

УДК 621.391

ТРИФОНОВ А. П., ПАРФЕНОВ В. И.

ОЦЕНКА ДЛЯТЕЛЬНОСТИ СЛУЧАЙНОГО РАДИОСИГНАЛА С НЕИЗВЕСТНОЙ ЦЕНТРАЛЬНОЙ ЧАСТОТОЙ ПРИ НАЛИЧИИ ПОМЕХИ С НЕИЗВЕСТНОЙ ИНТЕНСИВНОСТЬЮ*

Выполнен синтез и анализ алгоритма оценки длительности гауссовского радиосигнала, наблюдаемого на фоне внутренней и внешней помех. Приведены результаты статистического моделирования синтезированного алгоритма

В [1] рассмотрена оценка длительности случайного радиоимпульса с априори известной центральной частотой и неизвестной интенсивностью, наблюдаемого на фоне собственного шума приемного устройства и внешней широкополосной (по сравнению с сигналом) помехи с неизвестными интенсивностями. Однако при практической реализации алгоритмов обработки случайных радиосигналов в радиоэлектронных системах центральная частота спектра мощности сигнала часто бывает известна неточно. Поэтому рассмотрим возможность оценки длительности случайного радиосигнала с априори неизвестной центральной частотой.

Аналогично [1] полагаем, что на интервале времени $[0, T]$ наблюдается реализация случайного процесса

$$x(t) = s(t, \tau_0) + n(t) + v(t), \quad (1)$$

где полезный сигнал $s(t, \tau_0) = \xi(t) I[(t - \tau_0/2)/\tau_0]$ — отрезок длительности τ_0 узкополосного центрированного гауссовского процесса $\xi(t)$ со спектром мощности [2]

$$G_\xi(\omega) = \gamma_0 \{I[(\theta_{s0} - \omega)/\Omega_s] + I[(\theta_{s0} + \omega)/\Omega_s]\}/2, \quad (2)$$

$I(x) = 1$ при $|x| \leq 1/2$ и $I(x) = 0$ при $|x| > 1/2$; θ_{s0} и Ω_s — центральная частота и ширина полосы частот процесса $\xi(t)$. В (1) $n(t)$ — гауссовский белый шум с односторонней спектральной плотностью N_0 , а $v(t)$ — внешняя помеха, кото-

* Приведенные результаты получены при частичной поддержке Российского фонда фундаментальных исследований.

ную аппроксимируем стационарным центрированным гауссовским случайным процессом со спектром мощности [2, 3]

$$G_N(\omega) = \Gamma_0 \{ I[(\theta_N - \omega) / \Omega_N] + I[(\theta_N + \omega) / \Omega_N] \} / 2. \quad (3)$$

Интенсивности сигнала γ_0 и помехи Γ_0 в общем случае неизвестны. Неизвестная центральная частота θ_s спектра мощности сигнала принимает значения из априорного интервала $[\Gamma_1, \Gamma_2]$, а неизвестная длительность τ — из априорного интервала $[T_1, T_2]$. При этом предполагается, что спектр мощности внешней помехи (3) полностью перекрывает спектр мощности сигнала (2), т. е. выполняются условия $\Gamma_2 + \Omega_s / 2 \leq \theta_N + \Omega_N / 2$, $\Gamma_1 - \Omega_s / 2 \geq \theta_N - \Omega_N / 2$. Кроме того, предполагается, что случайный импульс $s(t, \tau_0)$ всегда находится внутри интервала наблюдения, так что $0 < T_1 < T_2 \leq T$. Случайные процессы $s(t, \tau_0)$, $n(t)$ и $v(t)$ статистически независимы. Также как в [1], полагаем, что наименьшее возможное значение длительности сигнала T_1 существенно пре- восходит время корреляции процесса $\xi(t)$, т. е.

$$\mu_{\min} = \Omega_s T_1 / 2\pi \gg 1. \quad (4)$$

Рассмотрим, как влияет априорное незнание центральной частоты сигнала θ_{s0} на точность оценки длительности, синтезированной в [1]

$$\tau_q = \arg \sup_{\tau} M(\tau, \theta_s^*), \tau \in [T_1, T_2], \quad (5)$$

где

$$M(\tau, \theta_s^*) = \frac{\tau \Omega_s}{2\pi} \ln \frac{A(\tau, \theta_s^*) - 1}{k T / \tau - 1} - \frac{T \Omega_N}{2\pi} \ln \frac{1 - 1 / A(\tau, \theta_s^*)}{1 - \tau / k T}, \quad (6)$$

$$A(\tau, \theta_s^*) = Y_N / Y_s(\tau, \theta_s^*), k = \Omega_N / \Omega_s, Y_N = \int_0^T y_N^2(t) dt, \quad (7)$$

$Y_s(\tau, \theta_s^*) = \int_0^\tau y_s^2(t, \theta_s^*) dt$; $y_N(t)$ и $y_s(t, \theta_s^*)$ — отклики фильтров с передаточными

функциями $H_N(\omega)$ и $H_s(\omega, \theta_s^*)$ соответственно на реализацию наблюдаемых данных (1). При этом

$$|H_N(\omega)|^2 = I[(\theta_N - \omega) / \Omega_N] + I[(\theta_N + \omega) / \Omega_N],$$

$$|H_s(\omega, \theta_s^*)|^2 = I[(\theta_s^* - \omega) / \Omega_s] + I[(\theta_s^* + \omega) / \Omega_s].$$

В (5) θ_s^* — ожидаемое (прогнозируемое) значение центральной частоты случайного сигнала. Если центральная частота сигнала априори известна и $\theta_s^* = \tilde{\theta}_{s0}$, то $\tau_q = \tau_m$, где τ_m — оценка максимального правдоподобия (ОМП) [1]. Поскольку в общем случае $\theta_s^* \neq \theta_{s0}$, выражение (5), в отличие от [1], определяет квазивправдоподобную оценку (КПО) длительности сигнала. Отметим, что структура алгоритма оценки (5) инвариантна к значениям интенсивностей сигнала γ_0 и помехи Γ_0 , а также к значению спектральной плотности белого шума N_0 .

Для определения характеристик КПО (5) исследуем поведение функционала $M(\tau, \theta_s^*)$ (6) при выполнении (4). С этой целью представим числитель и знаменатель функции $A(\tau, \theta_s^*)$ (7) в виде сумм сигнальных и шумовых функций [4]. Затем, аналогично [1], разложим (6) в ряд по малому параметру $1/\mu_{\min}$ и ограничимся первым ненулевым членом разложения, зависящим от реализации наблюдаемых данных (1). В результате функционал (6) может быть представлен в виде суммы $M(\tau, \theta_s^*) = S(\tau, \theta_s^*) + N(\tau, \theta_s^*)$ сигнальной $S(\tau, \theta_s^*) = \langle M(\tau, \theta_s^*) \rangle$ и шумовой $N(\tau, \theta_s^*) = M(\tau, \theta_s^*) - \langle M(\tau, \theta_s^*) \rangle$ функций. Угловые скобки означают усреднение по реализациям наблюдаемых данных [4] и

$$S(\tau, \theta_s^*) = \frac{\tau \Omega_s}{2\pi} \ln \left(\frac{\tau \Omega_s}{T \Omega_N - \tau \Omega_s} \cdot \frac{\langle Y_N \rangle - \langle Y_s(\tau, \theta_s^*) \rangle}{\langle Y_s(\tau, \theta_s^*) \rangle} \right) - \\ - \frac{T \Omega_N}{2\pi} \ln \left(\frac{T \Omega_N}{T \Omega_N - \tau \Omega_s} \cdot \frac{\langle Y_N \rangle - \langle Y_s(\tau, \theta_s^*) \rangle}{\langle Y_N \rangle} \right), \quad (8)$$

$$N(\tau, \theta_s^*) = \frac{1}{2\pi} \left\{ \frac{\tau \Omega_s}{\langle Y_s(\tau, \theta_s^*) \rangle} - \frac{T \Omega_N}{\langle Y_N \rangle} \right\} \frac{\langle Y_N \rangle \langle Y_s(\tau, \theta_s^*) \rangle - \langle Y_N \rangle \langle Y_s(\tau, \theta_s^*) \rangle}{\langle Y_N \rangle - \langle Y_s(\tau, \theta_s^*) \rangle}. \quad (9)$$

Согласно (9) при $\mu_{\min} \rightarrow \infty$ распределение функционала (6) сходится к гауссовскому [2].

В условиях высокой апостериорной точности характеристики оценки (5) определяются поведением функционала (6) в малой окрестности точки τ_0 . Соответственно при $|\tau - \tau_0| / \tau_0 \rightarrow 0$ для сигнальной функции (8) и корреля-

ционной функции шумовой функции (9) справедливы асимптотические представления

$$S(\tau, \theta_s^*) = S_0(\delta \theta^*) + [a_1(\delta \theta^*) + a_2(\delta \theta^*)] \min(\tau, \tau_0) - a_2(\delta \theta^*) \tau, \quad (10)$$

$$\begin{aligned} K_N(\tau_1, \tau_2, \theta_s^*) &= \langle N(\tau_1, \theta_s^*) N(\tau_2, \theta_s^*) \rangle = K_0(\delta \theta^*) + k_1(\delta \theta^*) \min(\tau_1, \tau_2, \tau_0) + \\ &+ \tilde{k}_3(\delta \theta^*) \max(\tau_1, \tau_2, \tau_0) + k_2(\delta \theta^*) [\max(\tau_1, \tau_2) - \max(\tau_1, \tau_2, \tau_0)] + \\ &+ k_4(\delta \theta^*) [\min(\tau_1, \tau_2) - \min(\tau_1, \tau_2, \tau_0)], \end{aligned}$$

где

$$\begin{aligned} S_0(\delta \theta^*) &= \mu_0 \left\{ \frac{d - \varepsilon c}{d - c} - \varepsilon \ln \frac{\varepsilon(d - c)}{d(\varepsilon - 1)} \right\}, \\ a_1(\delta \theta^*) &= \frac{\Omega_s}{2\pi} \left\{ \ln \frac{d - c}{c(\varepsilon - 1)} - \frac{d - \varepsilon c}{d - c} \right\}, \\ a_2(\delta \theta^*) &= \frac{\Omega_s}{2\pi} \left\{ \frac{(1 + Q_0)(d - \varepsilon c)}{c(d - c)} - \ln \frac{d - c}{c(\varepsilon - 1)} \right\}, \\ K_0(\delta \theta^*) &= \mu_0 \frac{(d - \varepsilon c)^2 (a c^2 - 2 b c d + b d^2)}{c^2 d^2 (d - c)^2} - \tau_0 [k_1(\delta \theta^*) + k_3(\delta \theta^*)], \\ k_1(\delta \theta^*) &= \frac{\Omega_s}{2\pi} \frac{(d - \varepsilon c)^2 (a c^2 - 2 b c d + b d^2)}{d c^2 (d - c)^3}, \\ k_2(\delta \theta^*) &= k_1(\delta \theta^*) - d_1(\delta \theta^*), \quad d_1(\delta \theta^*) = \frac{\Omega_s}{2\pi} \cdot \frac{b(d - \varepsilon c)^2}{c^2 (d - c)^2}, \\ k_4(\delta \theta^*) &= \frac{\Omega_s}{2\pi} \cdot \frac{d - \varepsilon c}{d^2 c^3 (d - c)^3} \{ (a c^2 - 2 b c d + b d^2) [q_0 c (d - c) - \\ &- (1 + Q_0) (d - \varepsilon c) (d - 2 c)] + c (d - c) (d - \varepsilon c) (1 + Q_0) \times \\ &\times [a c - b d + d (d - c) (1 + Q_0)] \}, \quad (11) \\ k_3(\delta \theta_s^*) &= k_4(\delta \theta^*) - d_2(\delta \theta^*), \quad d_2(\delta \theta^*) = \frac{\Omega_s}{2\pi} \cdot \frac{(1 + Q_0)^2 (d - \varepsilon c)^2}{c^2 (d - c)^2}, \\ a &= (1 + q_0 + Q_0)^2 + (\varepsilon - 1) (1 + Q_0)^2, \quad c = 1 + q_0 + Q_0 - q_0 |\delta \theta^*|, \end{aligned}$$

$$b = (1 + q_0 + Q_0)^2 - |\delta \theta^*| [q_0^2 + 2q_0(1 + Q_0)], \quad d = q_0 + \varepsilon(1 + Q_0),$$

$$\mu_0 = \Omega_s \tau_0 / 2\pi, \quad \varepsilon = T \Omega_N / \tau_0 \Omega_s, \quad q_0 = \gamma_0 / N_0, \quad Q_0 = \Gamma_0 / N_0, \quad \delta \theta^* = (\theta_s^* - \theta_{s0}) / \Omega_s.$$

Из (10) следует, что сигнальная функция $S(\tau, \theta_s^*)$ достигает наибольшего максимума при $\tau = \tau_0$, если выполняется условие

$$a_2(\delta \theta^*) > 0. \quad (12)$$

В свою очередь, последнее условие выполняется, если $|\delta \theta^*| < 0.833$. Введем в рассмотрение выходное отношение сигнал/шум (ОСШ) [4]

$$z^2 = \mu_0 \left\{ \ln \frac{d-c}{c(\varepsilon-1)} - \frac{d-\varepsilon c}{d-c} \right\}^2 \frac{c^2 d^2 (d-c)^2}{(d-\varepsilon c)^2 (a c^2 - 2 b c d + b d^2)}. \quad (13)$$

Если $z^2 \gg 1$ и выполняются условия (4), (12), которые обеспечивают высокую апостериорную точность КПО (5), положение наибольшего максимума функционала $M(\tau, \theta_s^*)$ (6) лежит в малой окрестности точки τ_0 . При этом КПО τ_q сходится к τ_0 в среднеквадратическом, если $z \rightarrow \infty$. В соответствии с теоремой Дуба [5] случайный процесс $M(\tau, \theta_s^*)$ в малой окрестности точки τ_0 является гауссовским марковским процессом диффузионного типа с коэффициентами сноса K_1 и диффузии K_2

$$K_1 = \begin{cases} a_1(\delta \theta^*), & \tau < \tau_0, \\ -a_2(\delta \theta^*), & \tau > \tau_0, \end{cases} \quad K_2 = \begin{cases} d_1(\delta \theta^*), & \tau < \tau_0, \\ d_2(\delta \theta^*), & \tau > \tau_0. \end{cases} \quad (14)$$

Характеристики оценки длительности можно найти, используя метод локально-марковской аппроксимации [6]. Решая уравнение Фоккера-Планка-Колмогорова [2] с коэффициентами (14) и соответствующими начальными и граничными условиями, аналогично [6], находим выражения для смещения (систематической ошибки) и рассеяния (среднего квадрата ошибки) оценки τ_q :

$$\tilde{d}(\tau_q) = \langle \tau_q - \tau_0 \rangle \approx \frac{z_1^2 (1 + 2R) - z_2^2 R (2 + R)}{2 z_1^2 z_2^2 (1 + R)^2},$$

$$\tilde{V}(\tau_q) = \langle (\tau_q - \tau_0)^2 \rangle \approx \frac{z_1^4 (2 + 6R + 5R^2) + z_2^4 R (5 + 6R + 2R^2)}{2 z_1^4 z_2^4 (1 + R)^3}, \quad (15)$$

$$z_1^2 = a_1^2(\delta \theta^*) / d_1(\delta \theta_*), z_2^2 = a_2^2(\delta \theta^*) / d_2(\delta \theta^*),$$

$$R = a_2(\delta \theta^*) d_1(\delta \theta^*) [a_1(\delta \theta^*) d_2^2(\delta \theta^*)]^{-1}.$$

Полагая в (15) $\theta_s^* = \theta_{s0}$ ($\delta \theta^* = 0$), получаем, как частный случай, выражения для смещения и рассеяния ОМП длительности случайного радиосигнала при априори известной центральной частоте спектра мощности θ_{s0} [1].

При конечном интервале возможных значений параметра $\tau \in [T_1, T_2]$ расщепление оценки длительности должно быть ограничено сверху. В то же время асимптотическое значение рассеяния (15) с уменьшением q_0 неограниченно возрастает. Уточним поведение $\tilde{V}(\tau_q)$ в области малых q_0 . С этой целью разложим функционал $M(\tau, \theta_s^*)$ (6) в двумерный ряд Маклорена по малым параметрам $1/\mu_0$ и q_0 . Удерживая члены второго порядка малости и затем устремляя $q_0 \rightarrow 0$, получаем $M(\tau, \theta_s^*) \approx v^2(\tau)/2$, где $v(\tau)$ — асимптотически гауссовский случайный процесс с математическим ожиданием $\langle v(\tau) \rangle = 1/2$ и корреляционной функцией

$$\begin{aligned} \langle [v(\tau_1) - \langle v(\tau_1) \rangle] [v(\tau_2) - \langle v(\tau_2) \rangle] \rangle &= \min(\tau_1, \tau_2) [kT - \max(\tau_1, \tau_2)] \times \\ &\times \{2 \max(\tau_1, \tau_2) [kT - \min(\tau_1, \tau_2)]\}^{-1}. \end{aligned}$$

Сделаем замену переменной $\tilde{\tau} = \ln[\tau/(kT + \tau)]$. Тогда процесс $M(\tilde{\tau})$ при $\tilde{\tau} \in [\xi_1, \xi_2]$, $\xi_i = \ln[T_i/(kT - T_i)]$, $i = 1, 2$, является стационарным процессом с корреляционной функцией $K_M(\tilde{\tau}_1, \tilde{\tau}_2) = \exp(-|\tilde{\tau}_1 - \tilde{\tau}_2|)/2$ и плотностью вероятности $W(M) = \exp(-M)/\sqrt{\pi M}$, $M > 0$. Из стационарности процесса $M(\tilde{\tau})$ следует, что плотность распределения вероятности положения его наибольшего максимума $\tau_q = \arg \sup_t M(\tilde{\tau})$, $\tilde{\tau} \in [\xi_1, \xi_2]$ постоянна в интервале $[\xi_1, \xi_2]$ [2].

Следовательно,

$$W(\tilde{\tau}_q) = \begin{cases} (\xi_2 - \xi_1)^{-1}, & \xi_1 \leq \tilde{\tau}_q \leq \xi_2, \\ 0, & \tilde{\tau}_q < \xi_1, \tilde{\tau}_q > \xi_2, \end{cases} \quad (16)$$

Возвращаясь в (16) от $\tilde{\tau}_q$ к переменной τ_q , находим плотность вероятности положения наибольшего максимума функционала $M(\tau, \theta_s^*)$:

$$W(\tau_q) = k T \left[\tau_q (k T - \tau_q) \ln \frac{T_2 (k T - T_1)}{T_1 (k T - T_2)} \right]^{-1}, \quad T_1 \leq \tau_q \leq T_2.$$

Следовательно, рассеяние оценки длительности (5) с учетом априорных ограничений можно записать как

$$V(\tau_q) = \min \{ \tilde{V}(\tau_q), V_0 \}, \quad (17)$$

где

$$\begin{aligned} V_0 = & \int_{T_1}^{T_2} (\tau - \tau_0)^2 W(\tau) d\tau = k T \left\{ T_1 - T_2 + \tau_0^2 \ln (T_2 / T_1) / k T + \right. \\ & \left. + \frac{(k T - \tau_0)^2}{k T} \ln \frac{k T - T_1}{k T - T_2} \right\} \ln^{-1} \frac{T_2 (k T - T_1)}{T_1 (k T - T_2)}. \end{aligned} \quad (18)$$

Рассмотрим влияние отклонения величины θ_s^* от θ_{s0} на точность КПО (5).

На рис.1 нацесены зависимости отношения $\chi = V(\tau_q) / V(\tau_m)$ от величины $\delta \theta^*$, построенные по формулам (15), (17), (18) при

$$k = 3, T_1 / T_2 = 0,25, T / T_2 = 1, \tau_0 / T_2 = 1/2.$$

Здесь $V(\tau_m) = V(\tau_q)|_{\delta \theta^* = 0}$ — рассеяние ОМП длительности радиосигнала с априори точно известной центральной частотой [1]. Кривая 1 рассчитана для $q_0 = 1, Q_0 = 0,5$; 2 — $q_0 = 1, Q_0 = 0$; 3 — $q_0 = 3, Q_0 = 0,5$. Из рис.1 следует, что с ростом величины $|\delta \theta^*|$ точность КПО τ_q может существенно ухудшаться, причем с увеличением q_0 и уменьшением Q_0 точность КПО оказывается более критичной к выбору значений θ_s^* .

Повысить точность оценки длительности случайного импульса с неизвестной центральной частотой спектра мощности можно, используя устройство, реализующее адаптацию по неизвестной частоте сигнала. Для этого надо в (5) заменить ожидаемое значение частоты θ_s^* на ОМП неизвестной частоты, что равносильно максимизации функционала (6) по значениям неизвестной частоты радиосигнала θ_s [4]. Тогда совместная ОМП длительности запишется как

$$\hat{\tau} = \arg \sup_{\tau} \left[\sup_{\theta_s} M(\tau, \theta_s) \right], \quad \tau \in [T_1, T_2], \quad \theta_s \in [\Gamma_1, \Gamma_2]. \quad (19)$$

Отметим, что для аппаратурной реализации этого алгоритма требуется приемник, многоканальный по неизвестному параметру θ_s . В каждом из каналов этого приемника, аналогично [1], формируется функционал (6) для соответствующего значения параметра $\theta_s \in [\Gamma_1, \Gamma_2]$.

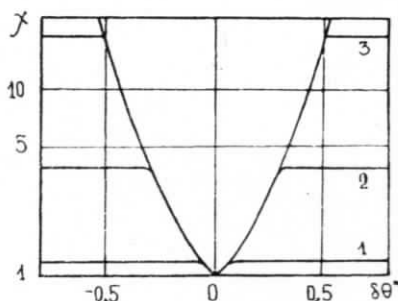


Рис. 1

Определим характеристики совместной ОМП длительности (19). Представим функционал $M(\tau, \theta_s)$ в виде суммы

$$M(\tau, \theta_s) = S(\tau, \theta_s) + N(\tau, \theta_s) \quad (20)$$

сигнальной

$$S(\tau, \theta_s) = \langle M(\tau, \theta_s) \rangle$$

и шумовой

$$N(\tau, \theta_s) = M(\tau, \theta_s) - \langle M(\tau, \theta_s) \rangle$$

функций. Обозначим $\delta = \max \{ |\tau - \tau_0| / \tau_0, |\theta_s - \theta_{s0}| / \Omega_s \}$. Как и ранее, учтем, что в условиях высокой апостериорной точности характеристики оценки (19) определяются поведением функционала $M(\tau, \theta_s)$ в малой окрестности точки (τ_0, θ_{s0}) . Полагая $\delta \rightarrow 0$, для сигнальной и корреляционной функций шумовой функции в (20) находим асимптотические выражения

$$S(\tau, \theta_s) \approx S_t(\tau) + S_f(\theta_s), \quad (21)$$

$$K_N(\tau_1, \tau_2, \theta_{s1}, \theta_{s2}) = \langle N(\tau_1, \theta_{s1}) N(\tau_2, \theta_{s2}) \rangle \approx K_t(\tau_1, \tau_2) + K_f(\theta_{s1}, \theta_{s2}), \quad (22)$$

где обозначено

$$S_t(\tau) = S(\tau, \theta_s^* = \theta_{s0}), \quad (23)$$

$$K_t(\tau_1, \tau_2) = K_N(\tau_1, \tau_2, \theta_s^* = \theta_{s0}).$$

Здесь функции $S(\tau, \theta_s^*)$ и $K_f(\tau_1, \tau_2, \theta_s^*)$ определяются из (10), (11), а

$$S_f(\theta_s) = -\mu_0 b_1 |\theta_s - \theta_{s0}| / \Omega_s, \quad (24)$$

$$K_f(\theta_{s1}, \theta_{s2}) = \mu_0 \frac{q_0^2 \varepsilon (\varepsilon - 1)}{[q_0 + \varepsilon (1 + Q_0)]^2} +$$

$$+ b_2 \{ |\theta_{s1} - \theta_{s2}| + 2 [\min(\theta_{s1}, \theta_{s2}, \theta_{s0}) - \max(\theta_{s1}, \theta_{s2}, \theta_{s0})] \},$$

$$b_1 = \frac{q_0^2}{(1 + Q_0)(1 + q_0 + Q_0)},$$

$$b_2 = \frac{\tau_0 \varepsilon q_0^2}{2 \pi [q_0 + \varepsilon (1 + Q_0)]^2} \left[\varepsilon + \frac{(1 + q_0 + Q_0)^2 + (\varepsilon - 1)(1 + Q_0)^2}{(1 + Q_0)(1 + q_0 + Q_0)} \right].$$

Согласно (9) при $\mu_{\min} \rightarrow \infty$ распределение функционала (20) сходится к гауссовскому [2]. Учитывая (21), (22), представим этот функционал в виде

$$M(\tau, \theta_s) = M_t(\tau) + M_f(\theta_s). \quad (25)$$

Здесь $M_t(\tau)$ и $M_f(\theta_s)$ — статистически независимые гауссовские процессы с математическими ожиданиями $S_t(\tau)$ (23) и $S_f(\theta_s)$ (24) и корреляционными функциями $K_t(\tau_1, \tau_2)$ и $K_f(\theta_{s1}, \theta_{s2})$ соответственно. Подставляя (25) в (19), для совместной ОМП длительности находим

$$\hat{\tau} = \arg \sup \left\{ \sup_{\theta_s} [M_t(\tau) + M_f(\theta_s)] \right\} =$$

$$= \arg \sup_{\tau} \left[M_t(\tau) + \sup_{\theta_s} M_f(\theta_s) \right] = \arg \sup_{\tau} M_t(\tau)$$

Сопоставляя (23) и (10), нетрудно заметить, что статистические характеристики процессов $M_t(\tau)$ и $M(\tau, \theta_s^* = \theta_{s0})$ совпадают. Следовательно, характеристики совместной ОМП $\hat{\tau}$ в условиях высокой апостериорной точности оценки асимптотически совпадают с характеристиками ОМП, найденными в [1]. С учетом этого, выражения для смещения и рассеяния совместной ОМП длительности случайного радиосигнала можно получить из соответствующих выражений (15) для характеристик КПО длительности, положив в них

$\delta \theta^* = 0$. Таким образом, $\tilde{d}(\hat{\tau}) = \tilde{d}(\tau_q) |_{\delta \theta^* = 0}$, $\tilde{V}(\hat{\tau}) = \tilde{V}(\tau_q) |_{\delta \theta^* = 0}$, где $\tilde{d}(\tau_q)$ и $\tilde{V}(\tau_q)$ определены в (15). Учитывая, как и ранее, ограниченность интервала изменения неизвестной длительности, получаем окончательное выражение для рассеяния ОМП $\hat{\tau}$ (19) в виде

$$V(\hat{\tau}) = \min \{ \tilde{V}(\hat{\tau}), V_0 \}, \quad (26)$$

где V_0 определено в (18).

Таким образом, величина χ , зависимость которой от $\delta \theta^*$ показана на рис. 1, является также отношением рассеяния КПО (5) к рассеянию совместной ОМП (19). Следовательно, зависимость $\chi(\delta \theta^*)$ характеризует также выигрыш в точности совместной ОМП (19) по сравнению с КПО (5) при неизвестной центральной частоте спектра мощности. Как следует из рис. 1, этот выигрыш возрастает с увеличением $|\delta \theta^*|$, q_0 и уменьшением Q_0 .

Формулы (15), (18), (26) для рассеяния совместной ОМП (19) являются лишь асимптотически точными с ростом μ_0 и z . С целью определения границ применимости найденных формул для характеристики оценки и с целью проверки работоспособности алгоритма оценки (19) было выполнено статистическое моделирование алгоритма (19) на ЭВМ. В процессе моделирования формировались отсчеты случайного поля $\tilde{M}(\tilde{\tau}, \tilde{\theta}_s) = M(\tilde{\tau} T_2, \tilde{\theta}_s \Omega_s)$, где $\tilde{\tau} = \tau / T_2$ и $\tilde{\theta}_s = \theta_s / \Omega_s$. Априорные интервалы возможных значений параметров $\tilde{\tau}$ и $\tilde{\theta}_s$ при моделировании определялись условиями

$$\tilde{\tau} \in [0,25; 1], \tilde{\theta}_s \in [k_s - 1; k_s + 1], k_s = \theta_{s0} / \Omega_s = 50,$$

что соответствует значениям $T_1 / T_2 = 0,25$, $T / T_2 = 1$, $\mu_{\min} = 25$. Кроме того, полагалось $\tilde{\tau}_0 = \tau_0 / T_2 = 1/2$, $k = \Omega_N / \Omega_s = 3$, $\mu_0 = 50$. В процессе моделирования при формировании отсчетов процессов $\tilde{y}_N(\tilde{t}) = y_N(\tilde{t} T_2)$ и $\tilde{y}_s(\tilde{t}, \tilde{\theta}_s) = y_s(\tilde{t} T_2, \tilde{\theta}_s \Omega_s)$, где $\tilde{t} = t / T_2$, соответствующие интегралы представлялись в дискретной форме через отсчеты входного процесса (1). При этом отсчеты процессов $\tilde{y}_N(\tilde{t})$ и $\tilde{y}_s(\tilde{t}, \tilde{\theta}_s)$ формировались с шагом $\Delta \tilde{t} = 5 \cdot 10^{-4}$, что обеспечивало относительную среднеквадратическую ошибку аппроксимации этих процессов ступенчатыми функциями не более 15%. Шаг дискретизации по нормированной центральной частоте $\tilde{\theta}_s$ и шаг по нормированной длительности $\tilde{\tau}$ выбирались равными $\Delta \tilde{\theta}_s = 0,04$ и $\Delta \tilde{\tau} = 0,01$ соответственно, что обеспечивало относительную среднеквадратическую ошибку аппроксимации

функционала $\tilde{M}(\tilde{\tau}, \tilde{\theta}_s)$ ступенчатыми функциями не более 20%. Выбор шага дискретизации по частоте $\Delta \tilde{\theta}_s = 0,04$ приводит к использованию 50 параллельных каналов по частоте при многоканальной реализации алгоритма совместной оценки (19). Оценка $\tilde{\tau}$, нормированной длительности $\tilde{\tau}$ находилась как положение наибольшего максимума i -й реализации статистики $\tilde{M}(\tilde{\tau}, \tilde{\theta}_s)$. Далее по $N = 500$ реализациям статистики $\tilde{M}(\tilde{\tau}, \tilde{\theta}_s)$ определялось выборочное нормиро-

$$\text{ванное рассеяние оценки } \sum_{i=1}^N (\hat{\tau}_i - \tilde{\tau}_0)^2 / N \text{ для каждого значения } q_0 \text{ и } Q_0.$$

Вместе с алгоритмом совместной оценки длительности (19) моделировался также алгоритм оценки длительности при априори известной центральной частоте $\tau_m = \arg \sup_{\tau} M(\tau, \theta_s^* = \theta_{s0}), \tau \in [T_1, T_2]$, синтезированный в [1]. На

рис.2 представлены некоторые результаты моделирования этого алгоритма. Сплошными линиями на этом рисунке изображены зависимости нормированного рассеяния оценки длительности $V(\tau_m) / T_2^2$ от параметра q_0 , найденные в [1]. Кривая 1 построена для $Q_0 = 0$, 2 — $Q_0 = 0,5$, 3 — $Q_0 = 1$, 4 — $Q_0 = 5$. Экспериментальные значения рассеяния оценки длительности изображены на этом рисунке «треугольниками» для $Q_0 = 0$, «кружками» — для $Q_0 = 0,5$, «плюсами» — для $Q_0 = 1$ и «квадратами» — для $Q_0 = 5$. Как следует из рис.2, найденные в [1] выражения для рассеяния ОМП длительности удовлетворительно аппроксимируют экспериментальные зависимости при $\mu_0 \geq 50$.

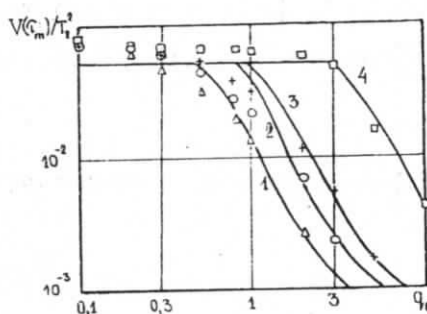


Рис. 2

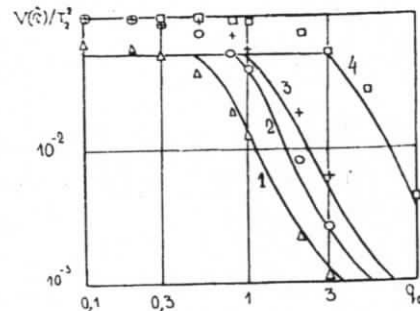


Рис. 3

Результаты моделирования алгоритма совместной оценки длительности (19) приведены на рис.3. Здесь сплошными линиями нанесены зависимости

нормированного рассеяния совместной оценки длительности $V(\hat{\tau}) / T_2^2$ от q_0 , рассчитанные по формулам (15), (18), (26). Обозначения рис.3 совпадают с обозначениями рис.2. Сопоставление рис. 2 и рис.3 подтверждает сделанный ранее вывод об асимптотическом равенстве рассеяний совместной ОМП $\hat{\tau}$ (19) сигнала с неизвестной центральной частотой и ОМП τ_m [1] сигнала с априори известной центральной частотой в условиях высокой апостериорной точности, т. е., когда $V(\hat{\tau}) / T_2^2 \ll 1$ и $V(\tau_m) / T_2^2 \ll 1$. Однако, если оценки длительности не обладают высокой апостериорной точностью, что имеет место при $q_0 \rightarrow 0$, то экспериментальные значения рассеяния совместной ОМП (19) могут быть в 1,1...2 раза больше, чем рассеяние ОМП длительности при априори известной центральной частоте.

Таким образом, определены асимптотически точные характеристики квазивправдоподобной и совместной оценок длительности случайного радиосигнала. Показано, что, по крайней мере, для $\mu_0 \geq 50$ найденные теоретические зависимости удовлетворительно аппроксимируют экспериментальные. В результате полученные выражения позволяют сделать обоснованный выбор между оценками (5) и (19) в зависимости от имеющейся априорной информации о центральной частоте случайного радиосигнала, а также в зависимости от требований, предъявляемых к точности оценок и степени простоты их аппаратурной реализации.

БИБЛИОГРАФИЧЕСКИЙ СПИСОК

1. Трифонов А. П., Парфенов В. И. Оценка длительности случайного радиосигнала при наличии помехи с неизвестной интенсивностью // Радиоэлектроника.— 1999.— Т. 42.— № 6.— С. 28—38. (Изв. высш. учеб. заведений).
2. Тихонов В. И. Статистическая радиотехника.— М. : Радио и связь, 1982.— 624 с.
3. Палий А. И. Радиоэлектронная борьба.— М. : Воениздат, 1981.— 320 с.
4. Куликов Е. И., Трифонов А. П. Оценка параметров сигналов на фоне помех.— М. : Сов. радио, 1978.— 296 с.
5. Kailath T. Some Integral Equations with Nonrational Kernels // IEEE Trans. on Inf. Theory.— 1966.— Vol. IT-12.— No. 4.— P. 442—447.
6. Трифонов А. П., Шинаков Ю. С. Совместное различение сигналов и оценка их параметров на фоне помех.— М. : Радио и связь, 1986.— 264 с.

Воронежский госуниверситет.

Поступила в редакцию 20.07.2000.